



## Assessment of Useful Life of Negarestan Reservoir Dam Using Hypsometric Curve by Modified Strahler Method and Satellite Imagery

A. Zahiri <sup>1\*</sup>, Kh. Ghorbani <sup>1</sup>, H. Feiz Abady <sup>2</sup>, H. Sharifan <sup>1</sup>

1 and 2- Associated Professor and Ph.D Student, Water Engineering Department, Gorgan University of Agricultural Sciences and Natural Resources, Gorgan, Iran, respectively.

(\*- Corresponding Author Email: [zahiri@gau.ac.ir](mailto:zahiri@gau.ac.ir))

Received: 31-08-2024

Revised: 28-10-2024

Accepted: 02-11-2024

Available Online: 02-11-2024

**How to cite this article:**

Zahiri, A., Feiz Abady, H., Ghorbani, Kh., & Sharifan, H. (2024). Assessment of useful life of Negarestan reservoir dam using hypsometric curve by modified Strahler method and satellite imagery. *Journal of Water and Soil*, 38(5), 555-573. (In Persian with English abstract). <https://doi.org/10.22067/jsw.2024.89646.1432>

### Introduction

Reservoirs are crucial for water supply to human societies, making their proper and planned management essential. Dams serve multiple purposes, including urban water supply, agricultural irrigation, flood control, and hydroelectric power generation. In order to properly manage and monitor the consumption of these important reserves, it is inevitable to know their capacities. Using water stage and the reservoir's initial volume-area-elevation curve, which is prepared with the hydrographic operations, is a common method for estimating the storage capacity of reservoirs at different water levels. Over time, the occurrence of numerous sedimentations, often due to factors such as floods, can alter the initial volume-area-elevation curve of a reservoir, requiring it to be updated. Hydrographic operations, using tools like eco-sounders, are conventional methods for updating this curve; however, these methods are both expensive and time-consuming. In recent years, various studies have focused on remote sensing techniques aimed at estimating the volume of water stored in reservoirs, using water levels to establish the surface area-elevation curve. The basis of these studies is the separation of water-land masks using spectral indices, the calculation of water levels, and the development of reservoir surface area-elevation curves through linear or polynomial relationships. However, the main limitation of these methods is the inaccuracy of linear or polynomial relationships in fitting the surface area-elevation curves at the beginning and end points of the water stage change interval, which correspond to the empty or full states of the reservoir. This inaccuracy arises due to factors such as drought or flood events. In this research, the limitation of linear and polynomial relationships in accurately predicting the points of the reservoir surface area-elevation curves, where observational data are unavailable due to non-occurrence, was addressed by using the Modified Strahler method to draw the hypsometric curve. This method allows for the calculation of the storage capacity of the reservoir between successive water levels and the determination of the final volume of water stored in the reservoir. By comparing the volumes of water stored at the present and initial reservoir capacities, the sedimentation rate and the useful life of the Negarestan Dam reservoir were estimated.

### Material and Methods

Negarestan Dam (Kabudval) is located on the Qarasu (Zarin Gol) river, 45 km east of Gorgan in the Golestan Province. This dam is used for purposes such as supplying urban water to Aliabad city and supplying water needed for the agricultural irrigation network of Qarasu. In this study, landsat8 satellite images were used to estimate the useful life of the Negarestan reservoir. The required images of the ROI were downloaded through the USGS database and pre-processed in Envi5.3 software. Using visible and infrared spectral bands, water indices NDWIMCFesters, NDWIGao, MNDWI, AWEISh and TCWet were calculated to separate land-water masks. After evaluating the accuracy of the obtained water level results by comparing it with the initial volume-area-elevation curve of Negarestan reservoir, the MNDWI index was used as the most accurate index to calculate water levels. In this study,



©2024 The author(s). This is an open access article distributed under [Creative Commons Attribution 4.0 International License \(CC BY 4.0\)](#).

<https://doi.org/10.22067/jsw.2024.89646.1432>

the modified Strahler method was used to obtain the hypsometric curve of the surface area-elevation of the reservoir, which has high accuracy in extrapolating the beginning and end points of the curve. By using the hypsometric curve, water levels were extracted for arbitrary water levels, and with the help of the prismoidal method, the volume between consecutive water levels was calculated. The sum of these volumes equaled the current storage capacity of the reservoir. To estimate the sedimentation rate of the Negarestan Dam reservoir, the current storage capacity was compared with the initial storage capacity in 2015. Based on this comparison, the useful life of the reservoir was accurately predicted.

## Results and Discussion

Validation results for calculating water surface areas using NDWIMCFeeters, NDWIGao, MNDWI, AWEISh and TCWet water indices showed that the MNDWI index with an average water surface areas calculation error equal to 5% is more accurate than other indices. Therefore, the MNDWI index was used in this study. Additionally, the comparison of the volume of water stored in the Negarestan reservoir with its initial storage capacity at the time of operation revealed that, over a period of 9 years, the storage capacity of the reservoir (at a water level of approximately 189.5 meters), which is close to the overflow crest level, had significantly decreased. It has decreased from about 24 to 20 million cubic meters, based on which the average annual sedimentation rate of the reservoir was estimated, to about 1.6%. The results showed that in a period of 9 years, the average level of the bathymetry of Negarestan reservoir has increased by 10 meters due to the accumulation of sediments, and the minimum level of the batymetry has reached from 160 to about 170 meters. According to the statistics of the International Commission on Large Reservoirs (ICOLD), the average annual sedimentation rate of the world's reservoirs is reported to be about 0.95%, and the results show that this amount in the Nagaristan Dam reservoir is almost 2 times the average rate. It is universal. According to the results obtained from this research and assuming constant climatic conditions, the useful life of the Nagarestan dam reservoir was estimated to be about 53 years from the beginning of 2024.

## Conclusion

Considering the increasing importance of water resources management, including dam reservoirs, this study employed a fast and cost-effective method based on remote sensing to calculate the volume of water stored in dam reservoirs and estimate their useful life. In addition to providing appropriate accuracy, this method was able to overcome the limitations of previous approaches in estimating the volume of accumulated sediment in the deeper parts of the reservoir. As a result, it offers a reliable tool for the effective management of water resources.

**Keywords:** Dam reservoir, Landsat8, Remote sensing, Sedimentation rate, Storage capacity

## مقاله پژوهشی

جلد ۳۸ شماره ۵، آذر - دی ۱۴۰۳، ۵۷۳-۵۵۵

## برآورد عمر مفید مخزن سد نگارستان با ترسیم منحنی هیپسومتریک

## به روش Strahler اصلاح شده و تصاویر ماهواره‌ای

عبدالرضا ظهیری<sup>۱</sup> - خلیل قربانی<sup>۱</sup> - حامد فیض‌آبادی<sup>۲</sup> - حسین شریفان<sup>۱</sup>

تاریخ دریافت: ۱۴۰۳/۰۶/۱۰

تاریخ پذیرش: ۱۴۰۳/۰۸/۱۲

## چکیده

مخازن سدها از منابع حیاتی تأمین آب جوامع بشری محسوب می‌شوند که آگاهی داشتن از مقدار حجم آب ذخیره شده در آن‌ها امری ضروری است. استفاده از اشل و منحنی حجم-سطح-ارتفاع مخزن که به کمک عملیات نقشه‌برداری تهیه می‌شود، روش معمول برای تخمین ظرفیت ذخیره‌سازی مخازن می‌باشد. با گذشت زمان و وقوع رسوب‌گذاری‌های متعدد، منحنی حجم-سطح-ارتفاع مخزن تغییر می‌کند که استفاده مجدد از آن نیازمند تصحیح این منحنی است. عملیات هیدروگرافی مخازن با استفاده از ابزاری مثل اکوساندر روشی مرسوم برای تصحیح این منحنی است که علاوه بر پرهیزینه بودن، زمان بر نیز می‌باشد. در سال‌های اخیر مطالعات مختلفی بر مبنای سنجش‌از دور با هدف تخمین حجم آب ذخیره شده در مخازن، به محاسبه سطوح آب برای ترسیم منحنی حجم-سطح-ارتفاع پرداخته‌اند. اساس کار این مطالعات تفکیک پهنه‌های آبخوشتکی به کمک شاخص‌های طیفی، محاسبه سطوح آب و ترسیم منحنی‌های سطح-ارتفاع مخازن با استفاده از روابط خطی یا چندجمله‌ای‌ها می‌باشدند. محدودیت این روش‌ها عدم دقت مناسب روابط خطی یا چندجمله‌ای در برازش منحنی سطح-ارتفاع مخزن برای نقاط ابتدایی و انتهایی بازه تغییرات عمق آب است. در این پژوهش با هدف رفع محدودیت روابط خطی و چندجمله‌ای برای پیش‌بینی دقیق نقاطی از منحنی سطح-ارتفاع مخزن که داده‌های مشاهداتی به‌دلیل عدم وجود نیستند، از ترسیم منحنی هیپسومتریک به روش استرال اصلاح شده است. با استفاده از منحنی هیپسومتریک می‌توان ظرفیت ذخیره‌سازی مخزن بین سطوح آب متواالی را محاسبه کرد و حجم‌نهایی آب ذخیره شده در آن را بدست آورد. براین اساس با مقایسه حجم آب ذخیره شده در زمان فعلی و ظرفیت ذخیره‌سازی طراحی مخزن در زمان شروع بهره‌برداری، نرخ رسوب‌گذاری و عمر مفید مخزن سد نگارستان برآورد شد. نتایج نشان داد که در بازه‌زمانی ۹ ساله، ظرفیت ذخیره مخزن در تراز سطح آب حدود ۱۸۹/۵ متر که معادل تراز تقریبی تاج سرربز می‌باشد، از حدود ۲۴ به ۲۰ میلیون متر مکعب کاهش یافته است که براین اساس نرخ متوسط رسوب‌گذاری سالانه مخزن حدود ۱/۶ درصد برآورد شد. همچنین در این مدت، تراز کف مخزن سد نگارستان به‌دلیل ابلاشتۀ شدن رسوبات به‌طور متوسط حدود ۱۰ متر افزایش داشته است و کمترین تراز کف مخزن از ۱۶۰ به حدود ۱۷۰ متر رسیده است. مطابق نتایج به‌دست آمده از این پژوهش و با فرض ثابت بودن شرایط اقلیمی، عمر مفید مخزن از ابتدای سال ۱۴۰۳ حدود ۵۳ سال برآورد شد.

**واژه‌های کلیدی:** سنجش‌از دور، ظرفیت ذخیره، لنdest، مخزن سد، نرخ رسوب‌گذاری

## مقدمه

نحوه انشعاب آن‌ها را تحت تأثیر قرار داده و باعث جلوگیری از مهاجرت موجودات آبزی مثل ماهی‌ها، تله‌اندازی رسوبات و همچنین تغییر شدید مورفولوژی رودخانه در بازه‌های بالا دست و پایین دست شده‌اند (Kondolf & Yi, 2022). مخازن سدها از سیستم‌های پیچیده رسوبی به‌شمار می‌آیند که مواعنی را برای انتقال طبیعی رسوبات رودخانه‌ها ایجاد می‌کنند. علاوه بر این، رسوب‌گذاری در

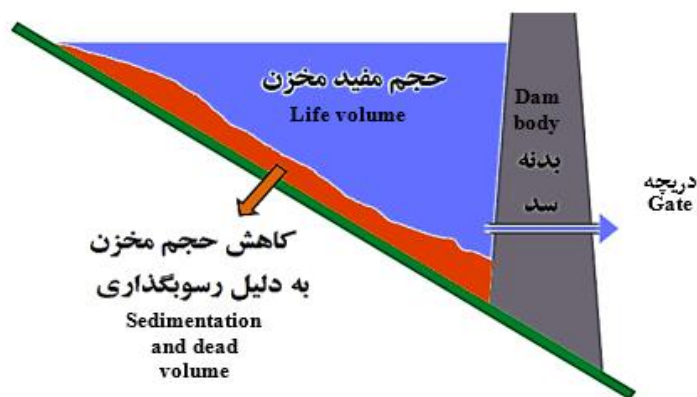
سد ها یکی از پروژه‌های مدیریت و حفاظت از منابع آب می‌باشند که برای کنترل سیلاب، تأمین آب شرب، تولید انرژی برق آبی و آبیاری اراضی کشاورزی استفاده می‌شوند. بیش از ۲/۸ میلیون سد متوسط و بزرگ در دنیا وجود دارد که رژیم‌های جریان رودخانه‌ها و

۱ و ۲- به ترتیب دانشیار و دانشجوی دکتری علوم و مهندسی آب گروه مهندسی آب، دانشگاه علوم کشاورزی و منابع طبیعی گرگان، گرگان، ایران  
(\*- نویسنده مسئول: Email: zahiri@gau.ac.ir)

کشور یونان با استفاده از شاخص Normalized difference water index (NDWI) و تصاویر ماهواره Sentinel2 ارزیابی کردند که مطابق نتایج، خطای این روش در محاسبه تغییرات حجم آب مخزن  $\frac{3}{86}$  درصد گزارش شد. تسفایه و همکاران (*Tesfaye et al., 2022*) به کمک سنجش از دور و نرمافزار GIS به مطالعه تغییرات دینامیکی آب ذخیره شده در مخازن سدهای کوگا<sup>۱</sup>، شینا<sup>۲</sup> و سلمکو<sup>۳</sup> واقع در حوضه آبریز نیل آبی کشور اثیوپی پرداختند. برای این منظور آن‌ها با پیش‌پردازش تصاویر ماهواره Landsat8 و شبیه‌سازی و مدل‌سازی پیکسل‌های آب، تغییرات ظرفیت ذخیره مخازن مورد مطالعه را به کمک شاخص (NDWI) مورد ارزیابی قرار دادند. نتایج مطالعه بین سال‌های ۲۰۰۹ تا ۲۰۱۶ نشان داد که ظرفیت ذخیره‌سازی مخزن کوگا از  $\frac{83}{10}$  میلیون متر مکعب به  $\frac{81}{17}$  میلیون متر مکعب کاهش یافته است که نرخ رسوب‌گذاری سالانه آن  $\frac{33}{10}$  درصد به دست آمد. یولیانتو و همکاران (*Yulianto et al., 2022*) با استفاده از داده‌های ماهواره Landsat8 و پلتفرم (Google Earth Engine) (GEE) روش بهبودیافته‌ای برای استخراج خودکار مناطق آب و خشکی AWEI با روشنی  $\frac{23}{10}$  در دریاچه توپا واقع در استان سوماترای کشور اندونزی به یک آستانه تشخیص خودکار مناطق آبی رسیدند. آستانه محاسبه شده برای شاخص AWEI با روش SBA برابر  $\frac{23}{10} - 0$  و دقت  $\frac{99}{4}$  درصد و آستانه نرمال برای شاخص AWEI برابر با  $\frac{100}{0}$  با دقت  $\frac{97}{4}$  درصد گزارش شد که نتایج به دست آمده ۲ درصد بهبود دقت در محاسبات را نشان داد. قنبری و همکاران (*Ghanbari et al., 2024*) در کشور ایران با استفاده از ماهواره‌های Sentinel2 و Sentinel3 و معادله هرون به بررسی تغییرات تراز سطح آب، مساحت سطح آب و تغییرات حجم آب ذخیره شده در مخزن سد درودزن شیراز پرداختند. بر اساس نتایج به دست آمده محاسبه مساحت سطح آب، مقدار RMSE نسبی  $\frac{5}{39}$  درصد و همبستگی مساحت‌های محاسبه شده  $\frac{97}{30}$  درصد گزارش شد. با ارزیابی نتایج به دست آمده از این مطالعه، همبستگی بین تغییرات تراز سطح و حجم آب  $\frac{98}{86}$  درصد، همبستگی بین تغییرات مساحت سطح و حجم آب  $\frac{84}{97}$  درصد و همبستگی بین تراز سطح و مساحت سطح آب  $\frac{87}{23}$  درصد برآورد شد. یائو و همکاران (*Yao et al., 2023*) برای محاسبه نرخ رسوب‌گذاری در مخازن سدها، هشت سد را به عنوان منطقه مطالعاتی در ایالات متحده آمریکا انتخاب کرده و با استفاده از تصاویر ماهواره Sentinel2 مساحت پهنه آب را به ازاء تمام ترازهای سطح آب در محدوده حداقل و حداقل برآورد نمودند.

مخازن باعث ایجاد مشکلات جدی در مدیریت عملیاتی آن‌ها می‌شود (شکل ۱) که علت اصلی آن تجمع تدریجی بار رسوی حمل شده توسط رودخانه‌ها است (*Ren et al., 2021*). با توجه به تنوع گستره شکل کف مخازن، تغییرات دبی رودخانه‌ها، مقدار و نوع رسوبات حمل شده و تغییرات ظرفیت ذخیره آب مخازن، ارائه مدل‌های رسوب‌گذاری در مخازن کاری دشوار و هزینه‌بر است (*Sedlacek et al., 2022*). اهمیت تخمین حجم رسوب‌گذاری مخازن سدها باعث استفاده از روش‌های اندازه‌گیری مختلفی شده است که با توجه به شرایطی مثل دسترسی به داده‌ها، هدف اندازه‌گیری، بودجه و زمان در دسترس، مورد استفاده قرار گرفته‌اند (*Gonzalez et al., 2023*). اندازه‌گیری توپوگرافی کف مخزن با استفاده از سیگنال‌های صوتی و فناوری‌های مکان‌یابی یکی از رایج‌ترین روش‌ها برای تعیین حجم رسوب انباشته‌شده است (*Banasik et al., 2021*). گاهشماری یکی دیگر از تکنیک‌های معمولی برای اندازه‌گیری نرخ رسوب‌گذاری در بازه‌های ۱۰۰ تا ۱۵۰ ساله است (*Chen et al., 2020*). علاوه بر این می‌توان با توجه به نوع، کیفیت و فراوانی داده‌های موجود هیدرولوژیکی از مدل‌ها و روابط ریاضی برای تخمین نرخ رسوب‌گذاری مخازن سدها استفاده کرد (*Lemma et al., 2024*). روش‌های مرسوم برای تعیین حجم رسوب‌گذاری در مخازن سدها به صرف زمان و تأمین منابع مالی کافی نیاز دارند که این امر در شرایط اقتصادی کنونی و بهویژه در کشورهای در حال توسعه مثل ایران می‌تواند باعث کاهش میزان اندازه‌گیری‌های میدانی شود. در سال‌های اخیر ماهواره‌های بسیاری با سنجنده‌های کیفی پیشرفته برای تصویربرداری از پدیده‌های زمینی در مدار خود قرار گرفته‌اند که این امر باعث شده تصویربرداری ماهواره‌ای و استفاده از فناوری سنجش از دور برای بررسی سری‌های زمانی تغییرات هیدرولوژیکی آب‌های سطحی از جمله تخمین حجم آب ذخیره شده در مخازن و دریاچه‌ها، تعیین مساحت گستره‌های آبی و تخمین نرخ رسوب‌گذاری در مخازن سدها مورد توجه قرار گیرد (*Droujko et al., 2023*). مزیت اصلی تصویربرداری ماهواره‌های نسبت به روش‌های مرسوم لندازه‌گیری هیدرورگرافی مخازن، علاوه بر هزینه بسیار کم غلبه بر دشواری‌های جمع‌آوری، انتقال و باشترک گذاری حجم بالایی از داده‌های عمق‌سنگی حاصل از اندازه‌گیری‌های میدانی می‌باشد (*Wagh & Manekar, 2021*).

جورجولیس و همکاران (*Gourgouleitis et al., 2022*) به منظور تخمین تراز سطح آب، مساحت گستره آبی و نیز تغییرات حجم آب در مخازن سدها، روش جدیدی را بر مبنای مشاهدات در محل و قابلیت Yiliki داده‌های سنجش از دور توسعه دادند. آنها این روش را در مخزن



شکل ۱ - انباشتگری تدریجی رسوبات در کف مخزن.

Figure 1. Gradual sedimentation in reservoir.

### مواد و روش‌ها

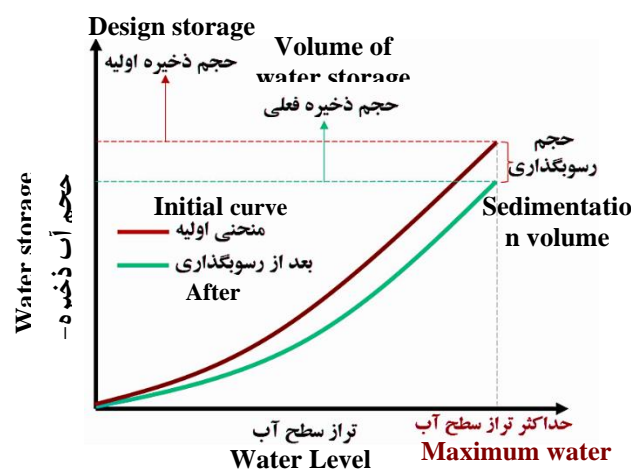
#### منطقه مورد مطالعه

#### سد نگارستان

سد نگارستان (کبودوال) با طول جغرافیایی "۱۵° ۵۴' ۰۵" شرقی و عرض جغرافیایی "۳۶° ۵۲' ۴۹" شمالی بر روی رودخانه قره‌سو (زین‌گل) و در کنار جنگل کبودوال در نزدیکی شهر علی‌آباد کتول و در ۴۵ کیلومتری شرق شهر گرگان در استان گلستان قرار دارد. این سد یکی از چهار سد مخزنی مهم استان گلستان می‌باشد. سد نگارستان از نوع خاکی همگن و در سال ۱۳۹۳ با ارتفاع حداقل ۳۳ متر از بی، طول تاج ۱۳۷۰ متر، عرض تاج ۱۰ متر، عرض سرریز ۵ متر و حجم مفید ۲۳/۲۰ میلیون متر مکعب در تراز سطح آب ۱۸۹ متر بهره‌برداری شد. آب سد نگارستان از دو منبع رودخانه زین‌گل و آبشار کبودوال تأمین می‌شود. این سد برای اهدافی مثل تأمین آب شرب شهرستان علی‌آباد، تأمین آب مورد نیاز برای شبکه آبیاری کشاورزی قره‌سو و گردشگری احداث شده است. **شکل ۳** موقعیت جغرافیایی مخزن سد نگارستان را نشان داده است.

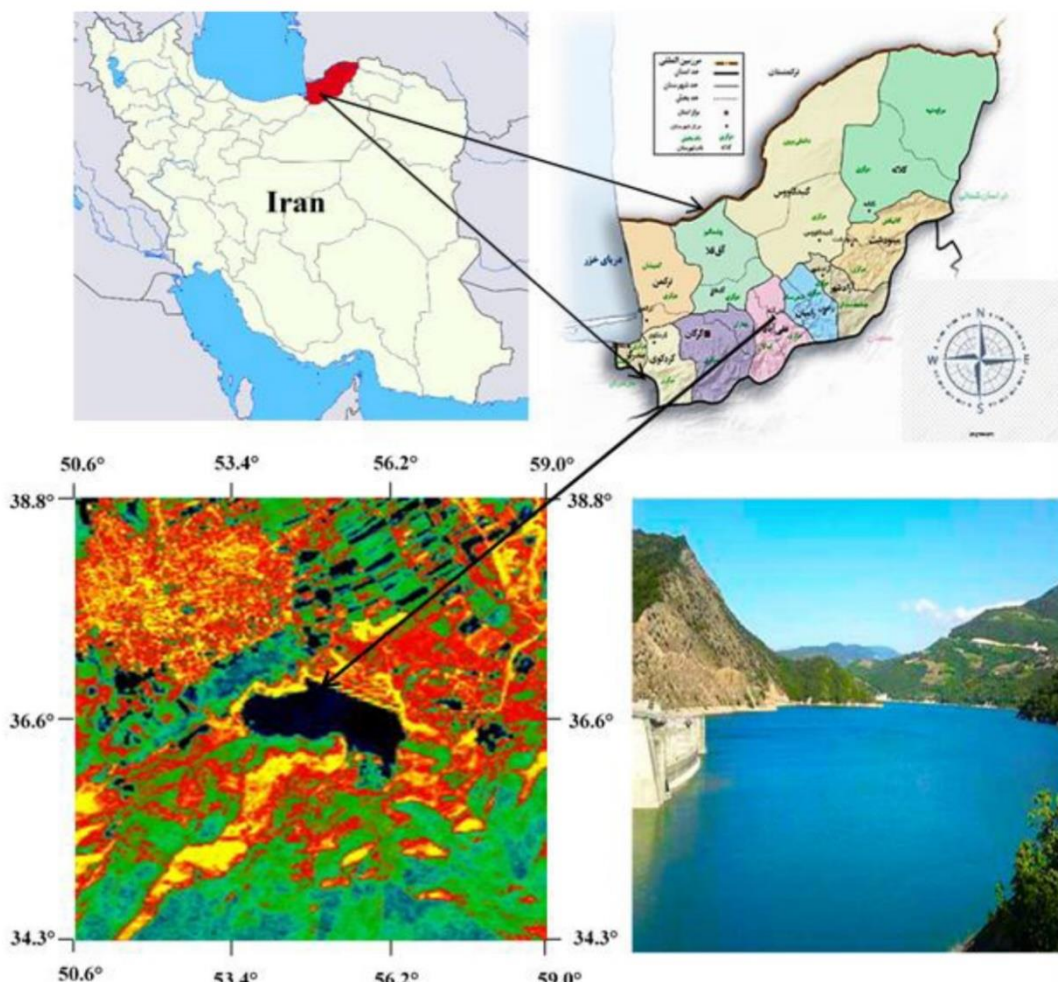
سپس با انتگرال‌گیری از مساحت‌های به دست آمده بین دو تراز سطح آب، حجم ذخیره آب را محاسبه نمودند. آن‌ها با مقایسه حجم ذخیره به دست آمده نسبت به حجم اولیه مخزن در زمان بهره‌برداری برای یک تراز ثابت، به سرعت رسوب‌گذاری با میزان خطای ۰/۰۵ درصد در سال دست یافتند.

مطالعات گذشته بالاستفاده از منحنی‌های خطی و چندجمله‌ای توانی به محاسبه منحنی سطح-ارتفاع مخزن پرداخته‌اند که باعث می‌شود در ترازهای سطح آب نزدیک به کف‌مخزن و یا در ترازهای نزدیک به تاج‌سرریز که مقادیر تراز سطح آب مشاهداتی به‌علت عدم وجود ندارند، برآش منحنی سطح-ارتفاع مخزن با خطای نسبی زیادی در بروندنیابی همراه باشد و دقت در نتایج تخمین ظرفیت ذخیره مخزن کاهش یابد. در این پژوهش به کمک تصاویر ماهواره Landsat8 از روش جدید استرالر اصلاح‌شده<sup>۱</sup> برای ترسیم منحنی هیپسومتریک سطح-ارتفاع مخزن با هدف برآورد دقیق ظرفیت ذخیره‌سازی و تخمین نرخ رسوب‌گذاری در آن استفاده شده است. روش ارائه شده می‌تواند خطای مطالعات قبلی را با ترسیم چندمنحنی هیپسومتریک برای مخزن بالاستفاده از داده‌های کالیبراسیون ثابت و انتخاب منحنی سطح-ارتفاع بهینه کاهش دهد و با محاسبه ظرفیت ذخیره‌سازی مخزن در زمان فعلی و مقایسه آن با زمان شروع بهره‌برداری (**شکل ۲**)، حجم و نرخ رسوب‌گذاری و همچنین عمر مفید مخزن را پیش‌بینی کند. برای این منظور مخزن سد نگارستان در استان گلستان به عنوان منطقه مورد مطالعه انتخاب و مورد ارزیابی قرار گرفته است.



شکل ۲- تغییر منحنی اولیه حجم-ارتفاع مخزن به اثر رسوب-

Figure 2. Change of initial volume-water level curve of reservoir due to



شکل ۳- موقعیت جغرافیایی مخزن سد نگارستان

Figure 3- Geographical location of Negarestan reservoir

سنجدندهای غیرفعال هستند که منبع انرژی آنها نور خورشید بوده و به دو دسته نوری و حرارتی تقسیم می‌گردند. در این مطالعه از تصاویر نوری استفاده شده است که شامل طیف‌های مرئی، مادون قرمز نزدیک و مادون قرمز میانی می‌باشدند. روش تفکیک و استخراج مناطق آب و خشکی به کمک سنجدن از دور مبتنی بر ایجاد یک آستانه تشخیص ناشی از تفاوت در بازتابش نور از سطح پدیده‌ها، یکی از پرکاربردترین روش‌ها محسوب می‌شود. برای ترسیم منحنی سطح-ارتفاع مخزن سد نگارستان تصاویر مورد مطالعه ماهواره Landsat8 OLI در بازه زمانی ۱۴۰۲-۱۳۹۹ به شکلی که تعییرات تراز سطح آب مخزن بین کمترین و بیشترین تراز مشاهداتی بیشینه شود و همچنین فواصل بین این ترازها دارای توزیع مناسبی در بازه تعییرات عمق آب باشند، دانلود شدند. پس از پیش‌پردازش رادیومتریکی، باندهای طیفی مرئی و مادون قرمز مربوط به روش تصویر استخراج و به کمک این باندها پنج شاخص طیفی آبی برای تعیین آستانه نهایی بین مناطق آب و خشکی در نرم‌افزار Envi5.3 محاسبه شد. با ترکیب این پنج شاخص و تفکیک مناطق آب و خشکی می‌توان مساحت گستره‌های آبی را برای مناطق ابری، برفی و سایه‌دار شهری و غیرشهری با دقت بسیار بالا محاسبه کرد (Feiz abady et al., 2024).

آبی بسیاری برای تشخیص پیکره‌های آبی معروف شده‌اند اما هیچ شاخص قطعی و بهینه‌ای برای استفاده در تمام مناطق جغرافیایی وجود ندارد. برای مثال در نزدیکی سواحل شاخص‌های آبی حساسیت متفاوتی را نشان می‌دهند. برای استفاده از خصوصیات شاخص‌های مختلف در این پژوهش، پنج شاخص آبی در مخزن سد نگارستان مورد ارزیابی قرار گرفتند که به طور مختصر شرح داده می‌شوند :

- شاخص آب تفاضلی نرمال شده (NDWI<sub>McFeeters</sub>).
  - شاخص آب تفاضلی نرمال شده (NDWI<sub>Gao</sub>).
  - شاخص اصلاح شده آب تفاضلی نرمال شده (MNDWI).
  - شاخص استخراج خودکار آب برای مناطق سایه‌دار (AWEI<sub>Sh</sub>)
  - شاخص Tasseled Cap for Wetness (TC<sub>wet</sub>)
- شاخص NDWI<sub>McFeeters</sub> در سال ۱۹۹۶ برای شناسایی و نظارت بر تعییرات آب درون بدندهای آبی مثل دریاچه‌های کوچک و بزرگ و مخازن ارائه شد. شاخص NDWI به خوبی نمی‌تواند برخی پیکسل‌های تصویر ماهواره‌ای مثل خاک تیره، مناطق با پوشش گیاهی کم، سایه‌ها و غیره را حذف کند و ممکن است مساحت پهنه‌های آبی را بیش از مقدار واقعی تخمین بزند (McFeeters., 1996).

## تصاویر ماهواره‌ای

ماهواره Landsat8 با قدرت تفکیک مکانی ۳۰ متر و تفکیک زمانی ثبت تصاویر در هر ۱۶ روز یکبار در ۱۱ فوریه ۲۰۱۳ وارد مدار فضایی خود شد. این ماهواره شامل تصویرساز عملیاتی OLI و سنسور مادون قرمز حرارتی TIRS می‌باشد (Sekertekin et al., 2018). تصاویر ماهواره Landsat8 شامل مجموعه‌ای از بلندهای مرئی، مادون قرمز، سیروز، پانکروماتیک و حرارتی می‌باشدند که دسترسی به آن‌ها به صورت رایگان در آرشیو سازمان زمین‌شناسی ایالات متحده Level2 Collection (USGS) قرار دارد. در این پژوهش از تصاویر این ماهواره که به صورت پیش‌فرض مورد تصحیحات اتمسفری قرار گرفته‌اند استفاده شده است (Teixeira Pinto et al., 2020).

## داده‌های مخزن سد

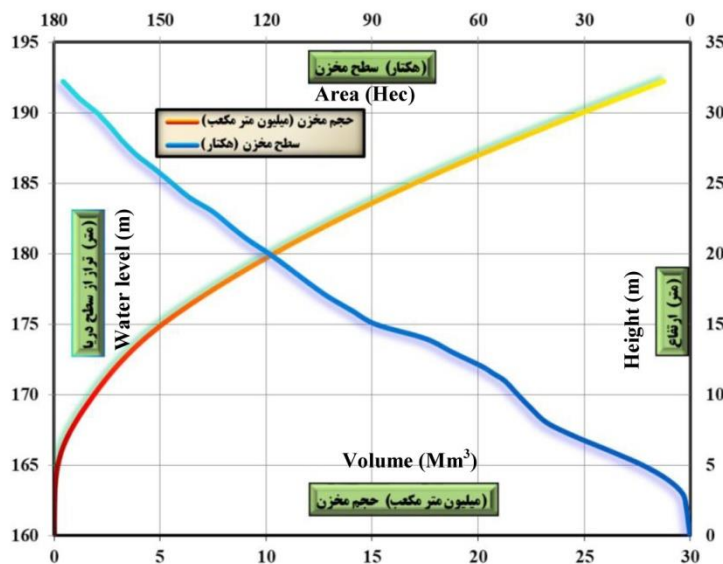
برای اعتبارسنجی و مقایسه نتایج روش پیشنهادی ارائه شده، از منحنی حجم-سطح-ارتفاع اولیه مخزن سد نگارستان که در سال ۱۳۹۳ با استفاده از عملیات نقشه‌برداری کف مخزن توسط اداره آب منطقه‌ای استان گلستان تهیه و تنظیم شده است و همچنین ترازهای سطح آب روزانه ثبت شده به کمک اشل استفاده شد. در شکل ۴ منحنی حجم-سطح-ارتفاع اولیه سد نگارستان نشان داده شده است.

## پایگاه داده

کمیسیون بین‌المللی سدهای بزرگ<sup>۲</sup> (ICOLD) مجموعه‌ای از اطلاعات و داده‌های مربوط به مخازن با ظرفیت بیش از سه میلیون مترمکعب را در سراسر جهان گردآوری کرده است. این مؤسسه در سال ۱۹۲۸ تأسیس شد و هم‌اکنون دارای ۳۷ کمیسیون فنی با مشارکت حدود ده‌هزار نفر عضو از بیش از ۱۰۰ کشور دنیا است که در زمینه مدیریت و توسعه منابع آب فعالیت می‌کند. در این پژوهش برای مقایسه نرخ رسوب گذاری مخزن سد نگارستان با مخازن نقاط مختلف جهان از نمودار تهیه شده توسط (ICOLD) که میانگین نرخ رسوب گذاری سالانه برخی کشورهای دنیا را نشان می‌دهد استفاده شده است (شکل ۵).

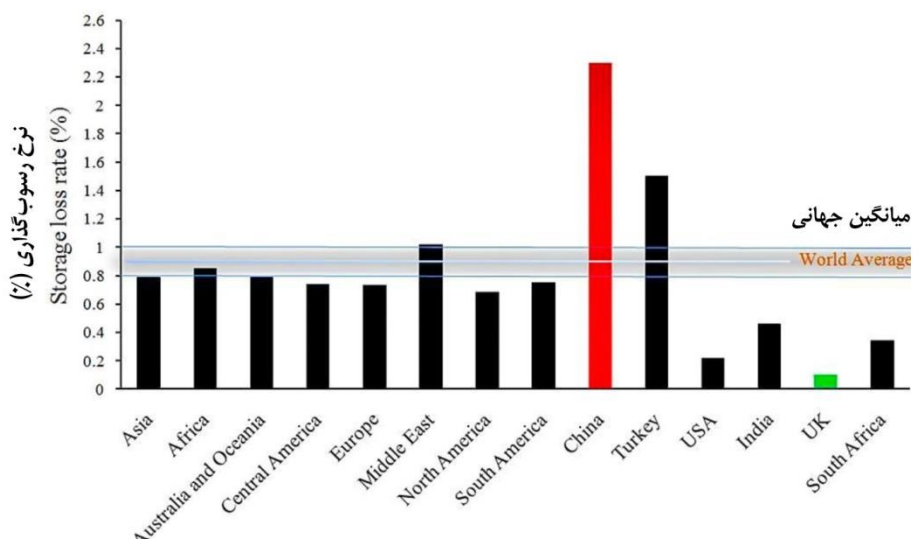
## ترسیم منحنی هیپسومتری به کمک داده‌های سطح-ارتفاع و روش استرالر اصلاح شده

سنجدندهای سنجدن از دور از نظر منبع انرژی به دو دسته تقسیم می‌گردند. دسته اول خود منبع انرژی هستند که به آن‌ها سنجدنده فعال می‌گویند و به سه دسته رادار، لیدار و سونار تقسیم می‌شوند. دسته دوم



شکل ۴- منحنی حجم-سطح-ارتفاع مخزن سد نگارستان در زمان شروع بهره‌برداری، سال ۱۳۹۳

Figure 4- Original Elevation-area-volume curve of negarestan reservoir dam at start time, 2015



شکل ۵- نمودار مقایسه نتایج میانگین نرخ رسوب‌گذاری سالانه مخازن کشورهای مختلف

Figure 5– Chart comparing the average annual sedimentation rate of reservoirs in different countries

در سال ۱۹۹۴ ارائه شد و از آن برای تشخیص رطوبت مناطق با پوشش‌های گیاهی استفاده شد. نام دیگر این شاخص NDMI است که از کاربردهای آن می‌توان به بررسی وجود آب در برگ‌های گیاهان نیز اشاره کرد. مطابق رابطه ۲ این شاخص با استفاده از باندهای مادون قرمز نزدیک و کوتاه محاسبه می‌شود (Gao & Goetz, ۲۰۰۷).

رابطه ۱ نحوه محاسبه این شاخص را با استفاده از باندهای طیفی مرئی سبز و مادون قرمز نزدیک بیان می‌کند:

$$NDWI_{MCFeeters} = \frac{GREEN - NIR}{GREEN + NIR} \quad (1)$$

شاخص NDWI<sub>Gao</sub> نیز برای تشخیص مناطق مرطوب اولین بار

سطح آب مخزن به ترتیب  $182/63$  متر و  $1/33$  کیلومتر مربع ثبت و گزارش شده است. تصویر موردمطالعه از پایگاه USGS و به فرمت Level2 Collection2 که به صورت پیش‌فرض تصحیحات اتمسفری بر آن اعمال شده، داللود و در نرمافزار Envi5.3 مورد تصحیحات رادیومتریکی قرار گرفت. سپس یک Layer stack متشکل از ترکیب باندهای طیفی مورد نیاز برای محاسبه شاخص‌های طیفی آبی ساخته شد و با استفاده از روابط ۱ تا ۵ عملیات Band math بر روی تصویر انجام شد. **شکل ۶** تصاویر پردازش شده از گوگل ارث برای مخزن سد نگارستان نشان داده است.

هر تصویر موردمطالعه در محدوده مخزن سد شامل  $2126 \times 30 \times 30$  پیکسل است که مساحت حداقلی برابر با  $1/91$  کیلومتر مربع را تشکیل می‌دهد. این مساحت متناظر با حداقل تراز سطح آب  $194$  متر می‌باشد (مطابق **شکل ۴**) که از تراز تاج سرریز سد  $192/25$  متر مطابق گزارش آب منطقه‌ای گلستان) بالاتر بوده و در عمل اتفاق نخواهد افتاد. برای محاسبه مساحت سطح آب ابتدا پیکسل‌های تصویر برای شاخص‌های ارائه شده از کمترین تا بیشترین مقدار در نمودار تجمعی خود مرتب می‌شوند و در شاخص MNDWI شماره پیکسلی که مقدار آن برابر صفر باشد به عنوان پیکسل آستانه اولیه بین مناطق آب و خشکی در نظر گرفته می‌شود، سپس دورصد از تعداد پیکسل‌ها به صورت  $1 - \frac{1}{t+1}$  درصد نسبت به پیکسل آستانه اولیه به عنوان محدوده اطمینان برای جلوگیری از خطاهای احتمالی سنجنده در ارسال اطلاعات انتخاب می‌شوند و به نمودار فراوانی داده‌های هر شاخص انتقال می‌یابند تا میانگین گیری در این بازه مقدار نهایی آستانه آب و خشکی برای شاخص مورد نظر مشخص شود. شماره پیکسلی که مقدار آن برابر با میانگین به دست آمده در محدوده اطمینان باشد به عنوان پیکسل آستانه نهایی برای شاخص مورد نظر انتخاب می‌شود و این روند برای تمام شاخص‌های طیفی موردمطالعه صورت می‌گیرد تا پنج پیکسل آستانه بین مناطق آب و خشکی تعیین گردد. با محاسبه مجموع مساحت پیکسل‌هایی که آب تشخیص داده می‌شوند مساحت به دست آمده به کمک هر شاخص طیفی تخمین زده می‌شود. با این روش بهترین آستانه برای تفکیک مناطق آب و خشکی حتی برای روزهای ابری و یا مناطق با سایه‌های وسیع محاسبه می‌شود که پیش‌تر به صورت کامل توضیح داده شده است و در اینجا به بیان خلاصه‌ای از آن اکتفا شد (*Feizabady et al., 2024*). در **جدول ۱** نتایج محاسبه مساحت سطح آب برای مخزن سد نگارستان در تاریخ  $10/21/1393$  با استفاده از پنج شاخص‌طیفی آبی ارائه شده نشان داده شده است.

(1994)

$$NDWI_{Gao} = \frac{NIR - SWRI_1}{NIR + SWRI_2} \quad (2)$$

Xu (2006) MNDWI بهبود یافته شاخص NDWI می‌باشد ( ) که در آن باند SWIR1 جایگزین باند NIR شده است و بازه تغییرات آن بین  $-1$  تا  $+1$  می‌باشد. عدد صفر می‌تواند آستانه مناسبی برای تعیین مرز بین آب و خشکی باشد ولی همیشه بهترین آستانه نیست. فرم ریاضی این شاخص با رابطه ۳ بیان شده است:

$$MNDWI = \frac{GREEN - SWRI_1}{GREEN + SWRI_2} \quad (3)$$

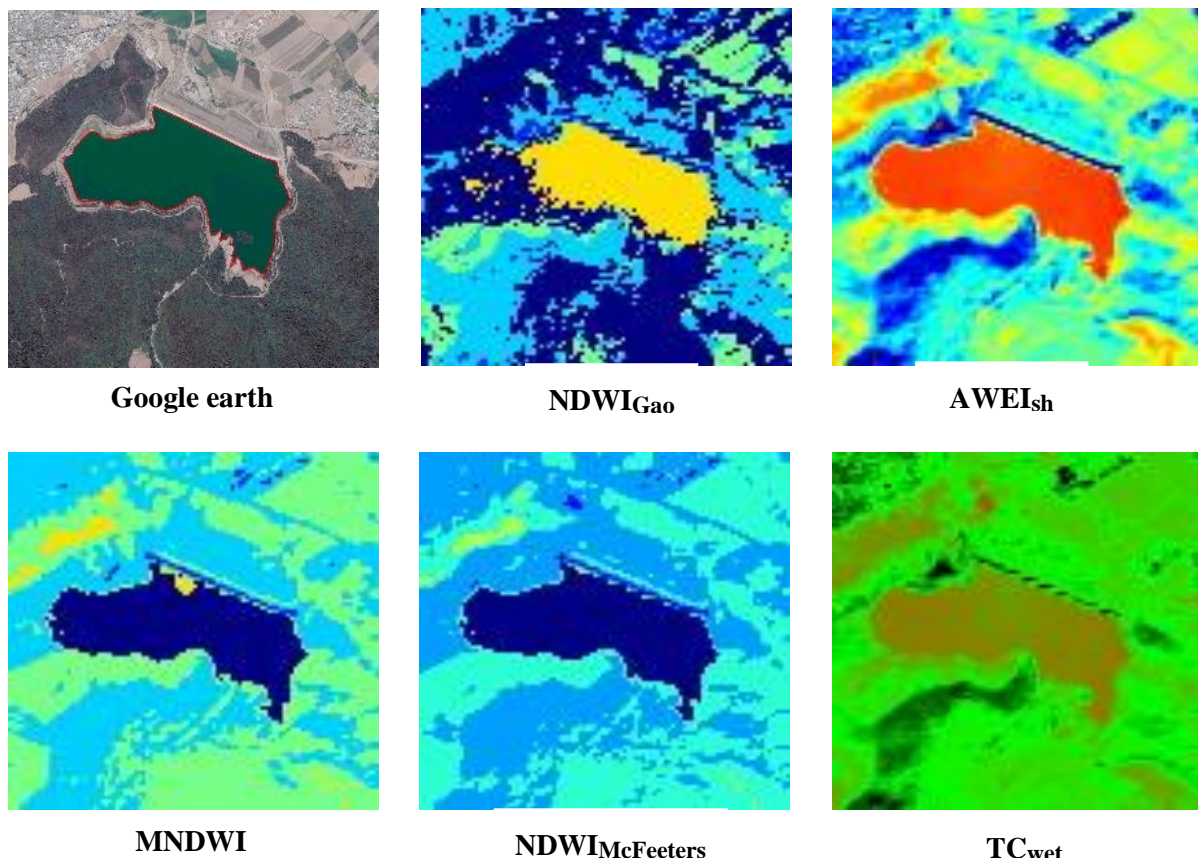
شاخص AWEI<sub>sh</sub> برای مناطق سایه‌دار شبیه شاخص AWEI<sub>inh</sub> عمل می‌کند با این تفاوت که برای مناطق تیره وسیع مثل سایه در دره‌ها بهتر عمل می‌کند و علاوه بر باندهای استفاده شده در شاخص AWEI<sub>inh</sub> باند آبی هم به آن اضافه شده و وزن شاخص‌ها تغییر پیدا کرده است (*Feyisa et al., 2014*). فرم ریاضی این شاخص در رابطه ۴ نشان داده شده است:

$$AWEI_{sh} = Blue + 2.5 \times Green - 1.5 \times (NIR + SWIR1) - 0.25 \times SWIR2 \quad (4)$$

$$TC_{wet} = 0.1509 \times Blue + 0.1973 \times Green + 0.3273 \times Red + 0.3406 \times NIR - 0.7112 \times SWIR1 - 0.4572 \times SWIR2 \quad (5)$$

شاخص شاخص TC<sub>wet</sub> (Tasseled Cap Wetness) با استفاده از **۶** باند طیفی و وزن دادن به هر کدام محاسبه شده است که شامل سه نوع مختلف روش‌نایابی، پوشش گیاهی و مناطق مرتبط می‌باشد (Crist, 1985) که در این روش از نوع شاخص مناطق مرتبط برای تشخیص پهنه آب‌های سطحی طبق رابطه ۵ استفاده شده است:

شاخص‌های طیفی در روابط ۱ تا ۵ می‌توانند به تنها یی محدوده آب داخل مخزن را تا حد قابل قبول مشخص کنند، اما برای یک تخمین دقیق از مساحت گستره آب مخزن در هر زمان دلخوا، نیاز است که دقت شاخص‌ها و ترکیب آن‌ها مورد ارزیابی قرار گیرد. برای این منظور تصویر مخزن سد نگارستان در تاریخ  $10/21/1393$  پس از شروع بهره‌برداری (عدم رسوب گذاری در کف مخزن) داللود شد تا نتایج به دست آمده از محاسبه مساحت سطح آب آن با آمار ثبت شده توسط اداره آب منطقه‌ای گلستان مقایسه و مورد ارزیابی قرار گیرد. مطابق گزارش آب منطقه‌ای گلستان و نمودار سطح-ارتفاع اولیه مخزن (**شکل ۴**، در تاریخ مورد مطالعه تراز سطح آب و مساحت



شکل ۶- تفکیک مناطق آب و خشکی در محدوده سد نگارستان با استفاده از شاخص‌های طیفی

Figure 6. Separation Land-water masks in region of Negarestan reservoir using spectral water indices.

جدول ۱- مقادیر سطح آب و خطای محاسبات در محدوده سد نگارستان با استفاده از شاخص‌های طیفی آبی، ۱۳۹۳/۱۰/۲۱  
Table 1- Water surface areas and calculating errors of Negarestan reservoir using spectral indices, 2015/01/11

	TC <sub>Wet</sub>	AWEI <sub>Sh</sub>	MNDWI	NDWI <sub>Gao</sub>	NDWI <sub>McFeeters</sub>
پیکسل آستانه‌نهايی Final threshold pixel	770	782	758	903	772
سطح آب Water surface area (km <sup>2</sup> )	1.22	1.21	1.23	1.10	1.22
سطح خشکی Land area (km <sup>2</sup> )	0.69	0.70	0.68	0.81	0.69
خطای محاسبه سطح (%) Area calculate error (%)	8	9	7	9	8

منحنی سطح-ارتفاع مخزن سد نگارستان، از شاخص‌هایی MNDWI با میانگین خطای حدود ۵ درصد در محاسبه سطح آب استفاده شد. بنابراین ۱۰ تصویر از مخزن نگارستان در بازه زمانی ابتدای سال ۱۳۹۹ تا انتهای ۱۴۰۲ به‌شکلی که محدوده ترازهای سطح آب، کمترین و بیشترین مقدار مشاهداتی را پوشش دهد و در این بازه توزیع تقریباً یکنواختی داشته باشند دانلود شدند و مطابق با

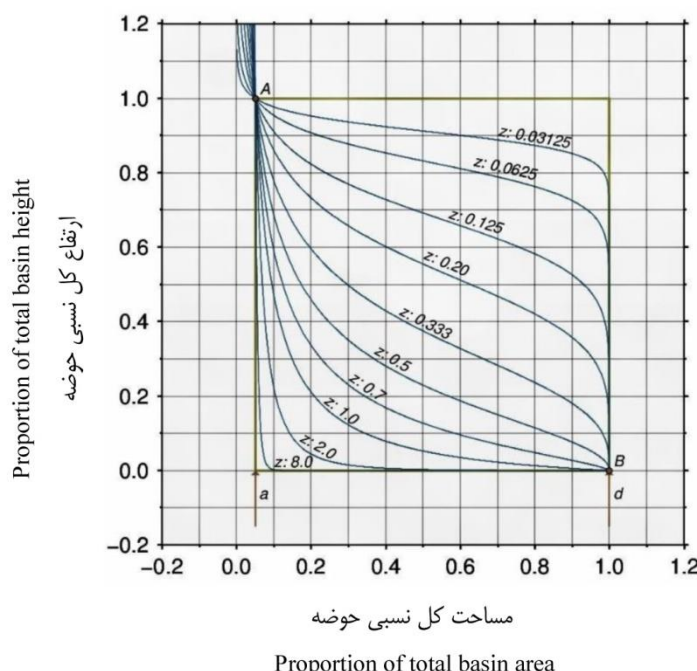
مطابق نتایج به‌دست آمده در [جدول ۱](#)، بین شاخص‌های طیفی ارائه شده، شاخص MNDWI در محاسبه سطح آب دقیق‌تری دارد و خطای آن در حدود ۷ درصد می‌باشد. همچنین نتایج محاسبه سطوح آب برای ۶ تصویر ماهواره‌ای مختلف دیگر (نزدیک یه‌زمان شروع بهره‌برداری مخزن) ارزیابی و با منحنی حجم-سطح-ارتفاع اولیه مقایسه شد که براساس نتایج به‌دست آمده به‌منظور ترسیم

مورد استفاده قرار گرفت (Schwatke *et al.*, 2020). استرالر برای تطبیق بهترین منحنی هیپسومتریک از یک رابطه با سه متغیر ( $a$ ,  $d$ ,  $z$ ) استفاده کرد (رابطه ۶) در رابطه  $z$ ، متغیر  $X$  نشان‌دهنده مساحت نرمال شده حوضه و متغیر  $Y$  نشان‌دهنده ارتفاع نرمال شده حوضه می‌باشدند.

$$Y = \left[ \frac{d-x}{x} \times \frac{a}{d-a} \right]^z \quad (6)$$

رابطه اصلی استرالر (رابطه ۶) بر اساس دو عدد ثابت  $a$  و  $d$  که در آن  $a < d > 0$  باشد برقرار است. تمام توابعی که برای توان‌های مختلف  $z$  نوشته می‌شوند نقاط  $A(a, 1)$  و  $B(d, 0)$  را مطابق شکل ۷ قطع می‌کنند. بنابراین بازه تغییرات متغیرهای محور  $Y$  و  $X$  به ترتیب بین  $(0, 1)$  و  $(a, d)$  خواهد بود. **شکل ۷** منحنی هیپسومتریک بر پایه رابطه اصلی استرالر برای توان‌های مختلف  $z$  و همچنین مقادیر  $a$  و  $d$  به ترتیب برابر با  $0/05$  و  $1$  را نشان داده است.

روش بیان شده تعیین سطح آب در آن‌ها انجام شد تا به عنوان نقاط واسنجی در ترسیم منحنی هیپسومتری مخزن استفاده شوند. منحنی هیپسومتریک نموداری است که با رسم مساحت نسبی در برابر ارتفاع نسبی، نسبت مساحت پدیده‌ها را در ارتفاعات مختلف نشان می‌دهد (Strahler, 1952). هر دریاچه یا مخزن دارای یک رابطه سطح-ارتفاع مشخص است که تغییرات آن به تغییرات توپوگرافی مخزن بستگی دارد (Schwatke *et al.*, 2020). در مطالعات قبلی برای ترسیم منحنی سطح-ارتفاع مخزن از توابع خطی و چندجمله‌ای استفاده شده است که نمی‌توانند تمام تغییرات سطح-ارتفاع ناشی از تغییرات توپوگرافی را به خوبی نشان دهند. با توجه به توپوگرافی کف‌وجانبی مخزن یک تابع هیپسومتریک باید به طور یکنواخت در حال افزایش باشد (Duan & Bastiaanssen., 2013 ; Arsen *et al.*, 2013) در سال ۱۹۵۲ استرالر یک منحنی هیپسومتری ترسیم کرد که سطح مقطع افقی یک حوضه‌زهکشی را به ارتفاع آب بالای دهانه آن مرتبط می‌ساخت و برای تحلیل فرسایش توپوگرافی حوزه‌ها



شکل ۷- منحنی هیپسومتری با رابطه استرالر اصلی

Figure 7- Hypsometric curve using original Strahler approach

مساحت سطح آب حداقل و حداقل مشخص نباشد. دلیل آن‌هم این است که در بازه زمانی مورد مطالعه در هیچ‌زمانی مخزن خالی از آب نشده و همچنین رویدادهای شدید مثل سیلاب‌ها اتفاق نیفتاده است تا تراز سطح آب مخزن به حداقل مقدار خود برسد. بنابراین روش استرالر مطابق رابطه ۷ برای تخمین منحنی هیپسومتریک مخزن اصلاح شد

روش اصلی استرالر که به آن اشاره شد می‌تواند برای تجزیه و تحلیل همه حوضه‌های زهکشی که در آن‌ها مساحت و ارتفاع حداقل و حداقل مشخص است استفاده شود. به طور کلی می‌توان فرض کرد که توپوگرافی دریاچه‌ها و مخازن دارای ویژگی‌هایی مشابه حوضه‌های زهکشی است، با این تفاوت که در مطالعه ما ممکن است

پس از محاسبه حجم بین ترازهای مختلف آب و به دست آوردن ظرفیت ذخیره‌سازی نهایی مخزن، نرخ رسوب‌گذاری سالانه (SR) در یک دوره زمانی مشخص از رابطه ۹ به دست می‌آید (Haregeweyn et al., 2012)، که در آن N تعداد سال‌های دوره مورد نظر و V<sub>1</sub> و V<sub>2</sub> به ترتیب ظرفیت ذخیره مخزن در ابتدا و انتهای دوره می‌باشند:

$$SR_{(year)} = \frac{1}{N} \left( \frac{V_1 - V_2}{V_1} \right) \times 100 \quad (9)$$

همچنین عمر مفید مخزن بر حسب سال مطابق رابطه ارائه شده توسط (Haregeweyn et al., 2012) از رابطه ۱۰ قابل محاسبه خواهد بود:

$$LE_{(year)} = \frac{UV}{SR} \quad (10)$$

در این رابطه LE عمر مفید مخزن به سال، UV ظرفیت مفید باقی‌مانده مخزن بر حسب درصد (مطابق نتایج به دست آمده در این مطالعه) و SR نرخ رسوب‌گذاری سالانه می‌باشد.

## نتایج و بحث

با توجه به ترازهای گزارش شده توسط آب منطقه‌ای گلستان از انتهای سال ۱۳۹۸ تا سال ۱۴۰۳ ده تصویر از مخزن سد نگارستان برای واسنجی کردن منحنی هیپسومتری مخزن و تعیین سطح آب در آنها انجام شد که در [جدول ۲](#) مقدار به دست آمده ارائه شده است.

تاریخ‌های انتخاب شده در [جدول ۲](#) به شکلی در نظر گرفته شدند که علاوه بر ایجاد یک بازه تغییرات عمق آب حداکثری، توزیع تقریباً یکنواختی بین کمترین و بیشترین عمق آب مشاهداتی داشته باشند تا در ترسیم منحنی هیپسومتری دقت بالاتری به دست آید. همچنین سعی شد تاریخ تصاویر انتخابی به زمان حاضر نزدیک‌تر باشد تا در بازه زمانی مورد ارزیابی، اثرات رسوب‌گذاری بر توپوگرافی کف‌مخزن نسبت به گذشت زمان کاهش یابد. با این حال محدودیت‌هایی نیز وجود دارد. برای ترسیم منحنی هیپسومتری استرالر اصلاح شده ترازهای سطح آب مشاهداتی و مساحت‌های محاسبه شده به عنوان نقاط کالیبراسیون در نظر گرفته شدند و با استفاده از رابطه ۷ منحنی هیپسومتریک برای مقادیر مختلف نمای z ترسیم شد تا نزدیک‌ترین منحنی به مقادیر واقعی به دست آید. [شکل ۹](#) منحنی‌های هیپسومتریک مخزن سد نگارستان را برای مقادیر مختلف z نشان داده است.

در [شکل ۹](#) نقاط واسنجی برای کمک به انتخاب بهترین نمای z که بتواند منحنی هیپسومتری بهینه را برآورد دهد نشان داده شده است. نتایج نشان داد z برابر با ۰/۶۵ می‌تواند بهترین نمای برای رابطه استرالر اصلاح شده (رابطه ۷) باشد. مطابق آن‌چه پیش‌بینی شد منحنی هیپسومتریک بهینه به طور یکنواخت روند صعودی دارد.

تا بتواند نقاط ابتدایی و انتهایی بازه مورد نظر را پوشش دهد.

$$Y = \left[ \frac{(x_{min} - x)}{(x_{min} - x_{ip})} \times \frac{(x_{max} - x_{ip})}{(x_{max} - x)} \right]^z \times Y_{Scale} + Y_{min} \quad (7)$$

رابطه ۷ دارای ۶ پارامتر است که در آن X<sub>min</sub> و X<sub>max</sub> به ترتیب مساحت حداکثر و حداقل متحننی هیپسومتری می‌باشند و مقدار آن‌ها می‌تواند بین ۰ تا مساحت سطح آب حداکثر در زمان پر بودن مخزن تغییر کند. حداقل تراز سطح آب مشاهداتی برابر با Y<sub>min</sub> و تغییرات عمق آب برابر با Y<sub>scale</sub> می‌باشد. در این رابطه نمای z فرم کلی منحنی را نشان می‌دهد و مقدار آن با واسنجی کردن رابطه ۷ و با استفاده از نتایج تخمین مساحت سطح آب به کمک شاخص MNDWI محاسبه می‌شود. مساحت متناظر با تراز سطح آب Y+Y<sub>scale</sub> است. بدینه است که هر چه مقدار مساحت مشاهداتی متناظر با تراز سطح آب Y<sub>min</sub> به صفر نزدیک‌تر باشد (X<sub>min</sub> = 0) نتایج محاسبات با دقت بیشتری به دست خواهد آمد. از آن جایی که عمق آب مخازن به راحتی قابل تشخیص نیست باید یک فرض مناسب تا حد امکان دقیق برای Y<sub>min</sub> در نظر گرفته شود تا بتوان ظرفیت ذخیره مخزن را بین کف و پایین‌ترین تراز سطح آب مشاهداتی با دقت بیشتری تخمین زد. به منظور حل لین مشکل لبتدام منحنی هیپسومتریک برای مساحت‌های محاسباتی ترسیم شد و با استفاده از چندجمله‌ای توانی و در نظر گرفتن این نکته که منحنی هیپسومتریک باید به طور یکنواخت افزایش یابد متناظر با مساحت صفر تخمین زده شد و در نهایت این نقطه به عنوان شروع منحنی هیپسومتریک در نظر گرفته شد.

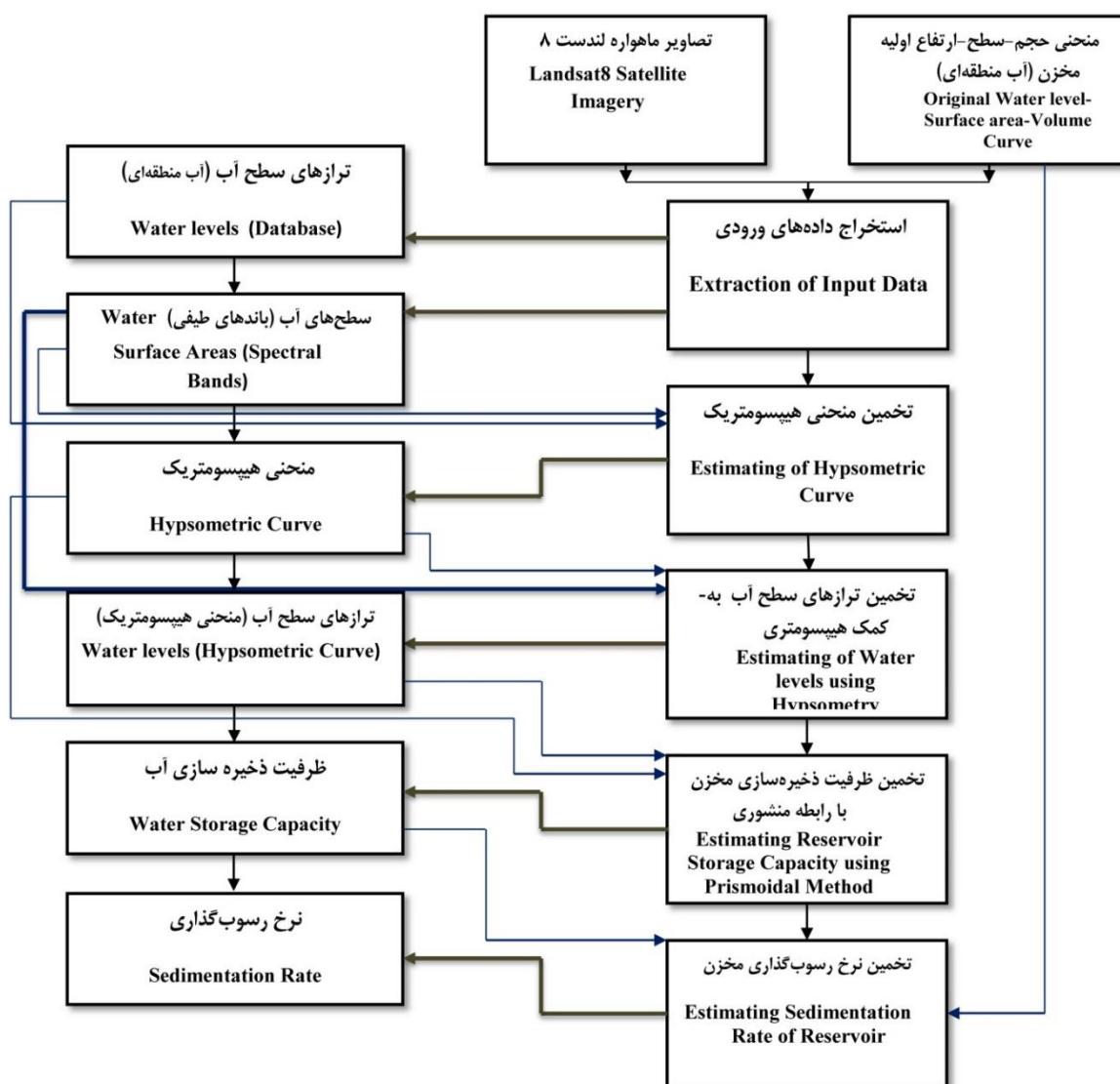
## محاسبه ظرفیت ذخیره‌سازی مخزن

با برآورده منحنی هیپسومتریک می‌توان برای هر سطح آب دلخواه تراز سطح آب متناظر با آن را به دست آورد و با استفاده از رابطه منشوری (Jain et al., 2002) که برای محاسبه حجم آب مخازن بین دو تراز متوالی ارائه شده است می‌توان ظرفیت ذخیره‌سازی جدید مخزن را مطابق رابطه ۸ محاسبه کرد:

$$\Delta V = \frac{\Delta H}{3} \{ (A_1 + A_2) + \sqrt{A_1 \times A_2} \} \quad (8)$$

که در آن  $\Delta V$  ظرفیت ذخیره مخزن بین دو تراز متوالی (H<sub>1</sub>) و (H<sub>2</sub>) در دو زمان متفاوت، A<sub>1</sub> و A<sub>2</sub> به ترتیب مساحت پهنه آب در ترازهای H<sub>1</sub> و H<sub>2</sub>، و  $\Delta H$  اختلاف تراز سطح آب بین دو تراز متوالی H<sub>1</sub> و H<sub>2</sub> می‌باشد. در رابطه منشوری (رابطه ۸) هرچقدر فاصله بین سطوح‌های متوالی کمتر باشد دقت محاسبات افزایش خواهد داشت (Vidya et al., 2023).

## محاسبه نرخ رسوب‌گذاری و عمر مفید مخزن



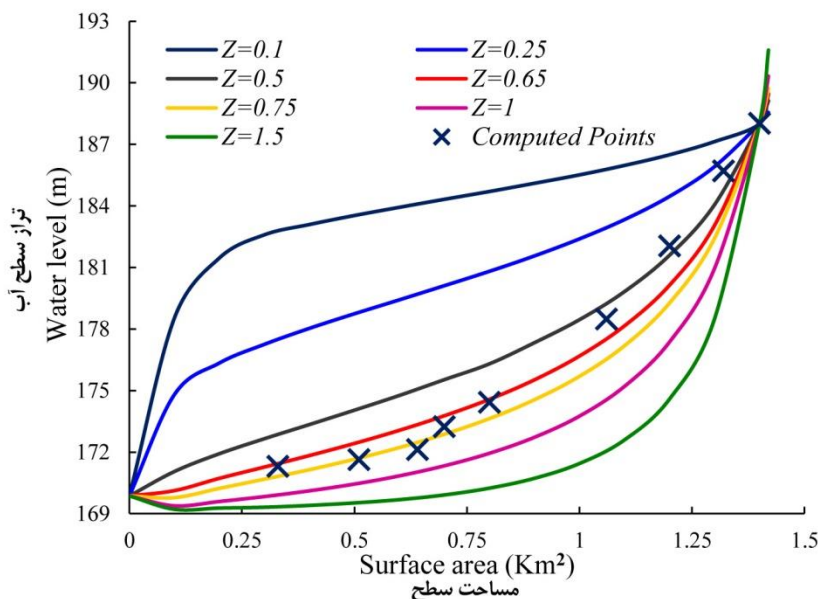
شکل ۸- فلوچارت مراحل انجام فرآیند تخمین نرخ رسوب‌گذاری مخزن

Figure 8- Flowchart of applied processing steps of estimating sedimentation rate of reservoir

جدول ۲- نتایج محاسبه مساحت سطح آب با استفاده از شاخص MNDWI برای مخزن نگارستان

Table 2- The results of computed water surface areas using MNDWI index of Negarestan reservoir.

تاریخ Date	تراز سطح آب Water level (m)	مساحت محاسبه شده Computed Surface area (Km <sup>2</sup> )	مساحت اولیه Original surface area (Km <sup>2</sup> )
2018.06.11	188.00	1.40	1.60
2020.01.28	171.62	0.51	0.56
2020.10.14	173.22	0.70	0.75
2021.09.23	171.29	0.33	0.56
2022.03.30	182.03	1.17	1.30
2022.07.17	178.47	1.06	1.10
2022.08.25	174.41	0.79	0.81
2022.10.05	171.69	0.64	0.57
2023.04.30	185.69	1.32	1.77
2024.02.15	175.60	0.89	0.94

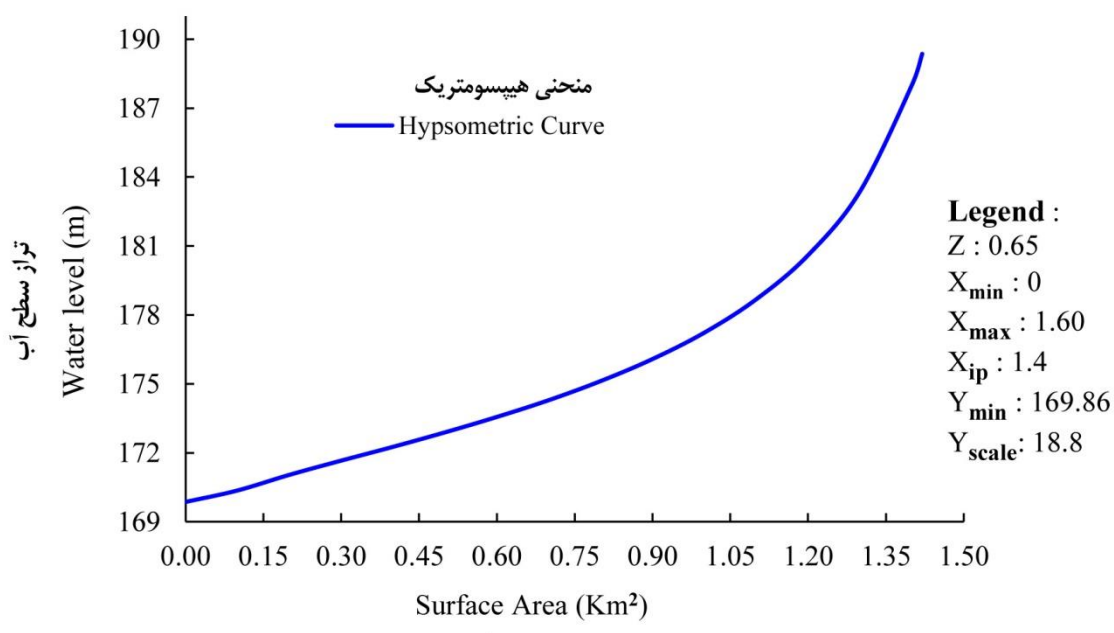
شکل ۹- منحنی های هیپسومتریک به ازاء مقادیر مختلف نمای  $z$  برای مخزن نگارستانFigure 9– Hypsometric curves of Negarestan reservoir for different exponent  $z$ 

جای گذاری شدند. **شکل ۱۱** منحنی حجم-ارتفاع به دست آمده از رابطه منشوری و اولیه مخزن نگارستان را در بازه زمانی ۹ ساله نشان داده است.

باتوجه به **شکل ۱۱** حجم رسوب انباسته شده در مخزن از اختلاف منحنی محاسباتی و اولیه مخزن در زمان شروع بهره برداری قبل محسوبه است. منحنی محاسباتی حجم-ارتفاع مخزن نشان می دهد که در تراز حدود ۱۷۰ متر ظرفیت ذخیره سازی مخزن به صفر رسیده است. در حالی که منحنی اولیه مخزن تراز متضاد با حجم آب ذخیره شده صفر یا خالی بودن مخزن را برابر ۱۶۰ متر در سال ۱۳۹۳ گزارش می کند. به کمک رابطه منشوری و **شکل ۱۱** می توان مقدار ظرفیت ذخیره از دست رفته مخزن بین دو تراز سطح آب دلخواه متولی را نیز محاسبه کرد. مطابق با داده های منحنی اولیه آب منطقه ای گلستان (**شکل ۴**)، ظرفیت ذخیره سازی مخزن بین تراز ۱۶۰ (تراز کف اولیه مخزن) و تراز  $189/47$  متر (تراز سرریز) حدود  $23/90$  میلیون متر مکعب گزارش شده است که براساس نتایج به دست آمده از روش پیشنهادی (**شکل ۱۱**) این ظرفیت در پایان سال ۱۴۰۲ به حدود  $20/25$  میلیون متر مکعب کاهش یافته است. با استفاده از رابطه ارائه شده برای محاسبه نرخ رسوب گذاری در مخازن (رابطه ۹) نرخ رسوب گذاری سالانه مخزن سد نگارستان از انتهای سال ۱۳۹۳ تا انتهای سال  $1402$  حدود  $1/6$  درصد محاسبه شد. نرخ رسوب گذاری به دست آمده بیان می کند که مخزن سد نگارستان به طور میانگین، سالانه حدود  $1/6$  درصد از ظرفیت ذخیره سازی آب خود را بر اثر تهشیب رسوبات از دست می دهد.

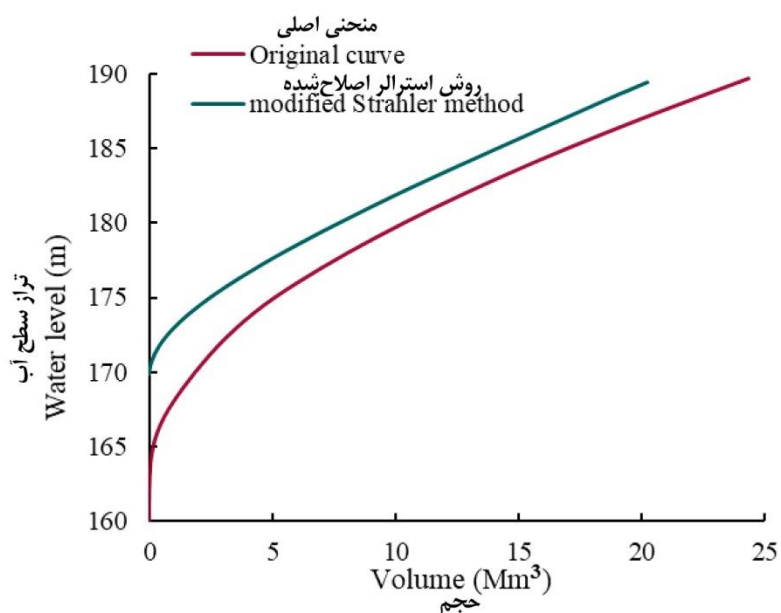
مطابق منحنی هیپسومتریک (**شکل ۱۰**) نقاط تقاطع کمترین (صفر) و بیشترین ( $1/42$  کیلومترمربع) مساحت محاسبه شده با ترازهای سطح آب به ترتیب  $169/86$  و  $189/47$  متر می باشد. همچنین **شکل ۹** نشان می دهد در صورتی که مقادیر  $z$  افزایش باد، سطح زیر منحنی هیپسومتریک کاهش پیدا می کند که نتیجه آن کاهش ظرفیت ذخیره مخزن خواهد بود. بنابراین انتخاب مناسب نمای  $z$  مسئله ای مهم در ترسیم این منحنی است. **شکل ۱۰** منحنی هیپسومتریک استرالر اصلاح شده با  $z = 65/6$  را برای نتایج مساحت های سطح آب به دست آمده به کمک شاخص MNDWI نشان داده است.

با برآورزش منحنی هیپسومتریک نهایی مخزن (**شکل ۱۰**) می توان در هر سطح آب دلخواه تراز آب متضاد با آن را با دقت بالایی محاسبه کرد. مزیت اصلی این منحنی نسبت به منحنی چندجمله ای، پیش بینی دقیق حدکث و حداقل سطح آب مخزن در زمانی است که بازه تغییرات داده های مشاهداتی بین کمترین و بیشترین تراز سطح آب محدود باشد، برای مثال سطح آب مخزن کاهش یا افزایش قابل توجهی بر اثر عواملی مثل خشکسالی ها یا سیلاب ها نداشته باشد. همچنین این منحنی به کمک نمای  $z$  مقاومت این امکان را می دهد که بتوان با دقت قابل قبولی رابطه ای مناسب بین مقادیر و مساحت های مخزن برقرار کرد. برای محاسبه ظرفیت ذخیره مخزن به کمک منحنی هیپسومتریک، ترازهای سطح آب بین تراز کمینه و بیشینه  $169/86$  تا  $189/47$  متر به فاصله های متولی  $5/0$  متری انتخاب شدند و مساحت های متضاد با آن ها از روی نمودار سطح-ارتفاع جدید محاسبه و نتایج در رابطه محاسبه حجم آب منشوری (رابطه ۸)



شکل ۱۰- منحنی هیپسومتریک نهایی مخزن نگارستان در  $z$  برابر با  $0.65$

Figure 10- Final hypsometric curve of Negarestan reservoir in  $z= 0.65$



شکل ۱۱- مقایسه منحنی های حجم-ارتفاع اولیه و محاسباتی به کمک منحنی هیپسومتریک مخزن نگارستان، بازه ۹ ساله

Figure 11- Comparing of original and computed hypsometric method water level-volume curves of Negarestan reservoir, at 9 years' time range

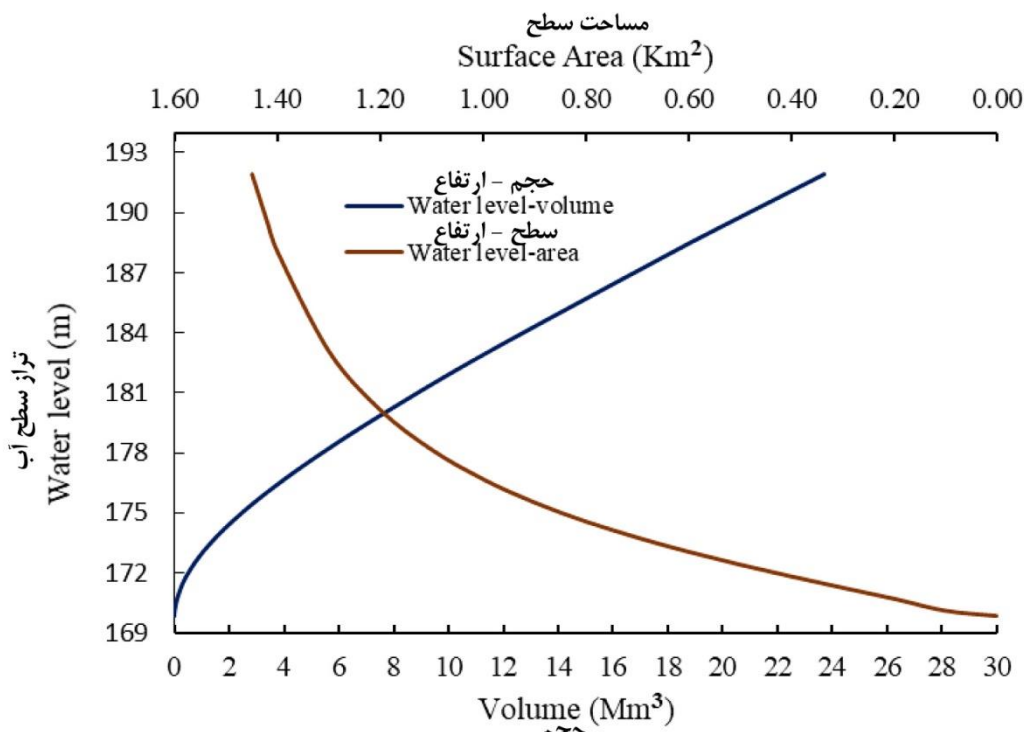
نگارستان تا سال ۱۴۲۵ حدود نیمی از ظرفیت ذخیره‌سازی خود را از دست خواهد داد. در تخمین عمر مفید مخزن فرض بر این است که

بنابراین عمر مفید مخزن با استفاده از رابطه  $10 \times \text{حدود } ۵۳ \text{ سال} = \text{به دست آمد}$ . بر این اساس مطابق نتایج به دست آمده مخزن سد

کشورهای توسعه یافته که عملیات آبخیزداری در آن‌ها به‌شکل مناسبی انجام می‌شود سالانه بین  $0/5$  تا  $1$  درصد می‌باشد (Niykadzino *et al.*, 2021). در مخازن ایران نرخ متوسط رسوب‌گذاری کمتر از یک درصد و بین حدود  $0/55$  تا  $0/75$  درصد سالانه گزارش شده است (Imanshoar *et al.*, 2009). با بررسی و ارزیابی نتایج سایر پژوهش‌ها مشخص می‌شود که مخزن سد نگارستان از نظر نرخ رسوب‌گذاری مقداری بیش از متوسط اکثر مخازن در نقاط مختلف جهان دارد و این مقدار بین  $1/5$  تا  $2$  برابر متغیر می‌باشد. در پژوهش‌های گذشته برای ترسیم منحنی سطح-ارتفاع مخازن از توابع خطی یا چندجمله‌ای استفاده شده است، در این پژوهش روشی مبتنی بر ایجاد یک منحنی هیپوسومتریک که می‌تواند نقاط ابتدایی و انتهایی بازه در کمترین و بیشترین تراز سطح آب را تخمین بزند و به ازاء نقاط کالیبراسیون ثابت چندین منحنی هیپوسومتری برای مخزن ترسیم کند تا با مقایسه این منحنی‌ها بتوان منحنی سطح-ارتفاع بهینه مخزن را انتخاب کرد ارائه شد. در شکل ۱۲ منحنی حجم-سطح-ارتفاع مخزن نگارستان با استفاده از مساحت سطح (Shkel ۴) نشان داده شده است.

شرایط اقلیمی در آینده تغییر چندانی نکند. ولی در صورت وقوع پدیده‌هایی مثل سیلاب‌ها، خشکسالی‌ها و یا تغییر در نحوه کاربری اراضی در بالادست مخزن و نحوه مدیریت آبخیزداری عمرمفید مخزن می‌تواند از مقدار پیش‌بینی شده کمتر باشد. با توجه به شکل ۵ کمیسیون بین‌المللی مخازن بزرگ (ICOLD) که به بررسی و جمع‌آوری اطلاعات حدود  $62000$  مخزن در سراسر جهان پرداخته است طبق گزارشی در سال  $2019$  متوسط نرخ رسوب‌گذاری مخازن جهان را حدود  $0/96$  درصد برآورد کرده است (Madadi, 2022). این کمیسیون همچنین نرخ متوسط رسوب‌گذاری در مخازن آسیا را حدود  $0/80$  درصد گزارش کرده است (شکل ۵).

محاسبات نرخ رسوب‌گذاری مخزن سد نگارستان با استفاده از روش پیشنهادی (محاسبه سطح آب استرال اصلاح‌شده) و همچنین تخمین ظرفیت ذخیره مخزن با رابطه منشوری نشان داد که متوسط نرخ رسوب‌گذاری سالانه مخزن نگارستان حدود  $1/6$  درصد می‌باشد که در مقایسه با متوسط جهانی و آسیا به ترتیب  $0/64$  و  $0/8$  درصد بیش‌تر است. مطابق این گزارش تنها کشورهای چین و ترکیه دارای نرخ متوسط رسوب‌گذاری بیشتری نسبت به سد نگارستان می‌باشند. همچنین گزارش‌ها نشان می‌دهد نرخ رسوب‌گذاری مخازن در



شکل ۱۲- منحنی حجم-سطح-ارتفاع مخزن سد نگارستان با استفاده از روش پیشنهادی

Figure 12- Water level-area-volume of Negarestan reservoir using suggested method

محاسبه مساحت سطوح آب که خطاهای سنجنده در ارسال داده‌ها را کاهش می‌دهد استفاده شد و با محاسبه ظرفیت ذخیره‌سازی مخزن سد در زمان‌های مختلف، حجم رسوب‌گذاری در مخزن برآورد شد. از محدودیت‌های روش تخمین ظرفیت ذخیره مخزن با استفاده از تصاویر ماهواره‌ای، می‌توان به عدم وقوع ترازهای سطح آب کمینه و بیشینه که در زمان سیلاب‌ها و یا خشکسالی‌های متعدد اتفاق می‌افتد اشاره کرد. برای رفع این محدودیت‌ها، در پژوهش حاضر با استفاده از ترسیم منحنی هیپسومتریک ظرفیت ذخیره‌سازی مخزن در ترازهای سطح آب حداکثر و حداقل با دقت بالایی محاسبه شد. با توجه به ارتباط دریاچه‌های طبیعی با حفاظت از اکووسیستم و تنوع زیستی، روش پیشنهادی می‌تواند در راستای بررسی نتایج مربوط به اعمال شیوه‌های کاهش فرسایش دریاچه‌های طبیعی نیز که به طور گسترده با افزایش قابل توجه نرخ رسوب‌گذاری مواجه هستند، استفاده شود.

به منظور صرفه جویی در هزینه‌ها و بهبود مدیریت منابع آبی، ضمن توصیه کاربرد روش ارائه شده در این تحقیق برای مخازن سدهای مهم کشور موارد تکمیلی زیر نیز پیشنهاد می‌شوند:

- بررسی کارایی تصاویر ماهواره‌ای در ارزیابی اثرات اقدامات اصلاحی (انجام عملیات آبخیزداری، اجیاء پوشش گیاهی حوضه آبخیز و احداث سدهای رسوبگیر در بالادست سدهای مخزنی) که با هدف کاهش حجم رسوب ورودی به مخزن سد انجام شده است.

- مقایسه نتایج روش پیشنهادی با روش‌های مستقیم، به کمک داده‌های جریان و رسوب کافی از مخزن سد و حوضه آبخیز.

- در مواردی که به دلیل عدم امکان اندازه‌گیری‌های میدانی اطلاعات مربوط به هیدروگرافی، رسوب‌سنگی و هیدرومتری مخازن در دسترس نیستند می‌توان از روش پیشنهادی با صرف کمترین زمان و هزینه استفاده کرد.

- پیش‌بینی عمر مفید مخزن سدهای کشور به منظور ایجاد جایگزینی مناسب برای تامین ظرفیت ذخیره‌سازی آب مورد نیاز، زمانی که مخزن سد به دلیل رسوب‌گذاری‌های متعدد غیرقابل استفاده خواهد شد.

مهم‌ترین تفاوت منحنی **شکل ۱۲** با منحنی اولیه مخزن در زمان بهره‌برداری نقطه شروع منحنی حجم-ارتفاع در تراز سطح آب ۱۶۹/۸ متر است که نشان می‌دهد بین سال‌های ۱۳۹۳ تا ۱۴۰۳ متوسط عمق و حجم رسوب‌گذاری در مخزن تا این تراز به ترتیب حدود ۱۰ متر و ۲ میلیون متر مکعب بوده است که این حجم از رسوبات معادل ۶۵ درصد حجم کل رسوب انباشته شده در مخزن نگارستان می‌باشد. براساس نتایج و ارزیابی‌های صورت‌گرفته می‌توان از منحنی ارائه شده در **شکل ۱۲** به عنوان جایگزین مناسبی برای منحنی حجم-سطح-ارتفاع مخزن نگارستان استفاده کرد.

## نتیجه‌گیری

نتایج نشان داد که به دلیل رسوب‌گذاری‌های متعدد، ظرفیت ذخیره‌سازی مخزن سد نگارستان در بازه زمانی ۹ ساله از حدود ۲۴ به ۲۰ میلیون متر مکعب کاهش یافته است که نرخ رسوب‌گذاری سالانه در این بازه زمانی حدود ۱/۶ درصد به دست آمد. این مقدار نرخ رسوب‌گذاری حدود ۱/۵ تا ۲ برابر نرخ متوسط رسوب‌گذاری مخازن جهان که توسط کمیسیون بین‌المللی سدهای بزرگ (ICOLD) اعلام شده است می‌باشد. بر این اساس عمر مفید مخزن سد نگارستان از ابتدای سال ۱۴۰۳ حدود ۵۳ سال برآورد شد و پیش‌بینی می‌شود این مخزن تا سال ۱۴۲۵ حدود نیمی از ظرفیت ذخیره‌سازی اولیه خود را از دست می‌دهد. بررسی‌ها و نتایج روش پیشنهادی نشان داد که سنجش از دور می‌تواند ضمن صرف کمترین هزینه و در زمان کم، نتایج قابل توجهی از مساحت گستره‌های آبی، حجم آب ذخیره شده در مخازن، نرخ رسوب‌گذاری و برآورد عمر مفید مخازن ارائه کند.

در کشور ایران سالانه بودجه قابل توجهی توسط سازمان‌های ذیرپوش برای تعیین حجم رسوب انباشته شده در مخازن سدها تخصیص داده می‌شود. بنابراین استفاده از علوم نوین برای افزایش دقت نتایج، کاهش هزینه‌ها و کاهش خطرات جانی در حین انجام عملیات اندازه‌گیری‌های میدانی ضروری است. یکی از مهمترین راهکارها در این زمینه استفاده از علم سنجش از دور یا فناوری ماهواره‌ای است. پژوهشگران از روش‌های مختلفی برای به کارگیری مدل‌های سنجش از دور استفاده کرده‌اند. در این پژوهش از روشهای دقیق برای

## References

1. Arsen, A., Crétaux, J. F., Berge-Nguyen, M., & Abarca del Rio, R. (2013). Remote sensing-derived bathymetry of Lake Poopó. *Remote Sensing*, 6(1), 407-420. <https://doi.org/10.3390/rs6010407>
2. Banasik, K., Hejduk, L., Krajewski, A., & Wasilewicz, M. (2021). The intensity of siltation of a small reservoir in Poland and its relationship to environmental changes. *Catena*, 204, 105436. <https://doi.org/10.1016/j.catena.2021.105436>
3. Chen, C.Y., McGee, D., Woods, A., Pérez, L., Hatfield, R.G., Edwards, R.L., & Rodbell, D.T. (2020). U-Th dating of lake sediments: Lessons from the 700 ka sediment record of Lake Junín, Peru. *Quaternary Science Reviews*, 244, 106422. <https://doi.org/10.1016/j.quascirev.2020.106422>
4. Crist, E.P. (1985). A TM tasseled cap equivalent transformation for reflectance factor data. *Remote Sensing of*

- Environment*, 17(3), 301-306. [https://doi.org/10.1016/0034-4257\(85\)90102-6](https://doi.org/10.1016/0034-4257(85)90102-6)
5. Droujko, J., Sudha, S.H., Singer, G., & Molnar, P. (2023). Sediment source and sink identification using Sentinel-2 and (kayak-based) lagrangian river turbidity profiles on the Vjosa River. *EGU Sphere*, 1-24. <https://doi.org/10.5194/egusphere-2023-156>
  6. Duan, Z., & Bastiaanssen, W.G.M. (2013). Estimating water volume variations in lakes and reservoirs from four operational satellite altimetry databases and satellite imagery data. *Remote Sensing of Environment*, 134, 403-416. <https://doi.org/10.1016/j.rse.2013.03.010>
  7. Feizabady, H., Ghorbani, K., & Zahiri, R. (2024). Monitoring time series of reservoir water surface area changes using remote sensing approaches. *Journal of Water and Soil Conservation*.
  8. Feyisa, G.L., Meilby, H., Fensholt, R., & Proud, S.R. (2014). Automated Water Extraction Index: A new technique for surface water mapping using Landsat imagery. *Remote Sensing of Environment*, 140, 23-35. <https://doi.org/10.1016/J.RSE.2013.08.029>
  9. Gao, B.C., & Goetz, A.F. (1994). Extraction of dry leaf spectral features from reflectance spectra of green vegetation. *Remote Sensing of Environment*, 47(3), 369-374. [https://doi.org/doi:10.1016/0034-4257\(94\)90104-X](https://doi.org/doi:10.1016/0034-4257(94)90104-X)
  10. Ghanbari, R., Tayfehrostami, A., Forouzanfar, M., & Tashakori, M. (2024). Using Optical Satellite Images and Satellite Altimetry Data to Estimate Volume Variations in Dams. *The International Archives of the Photogrammetry, Remote Sensing and Spatial Information Sciences*, 48, 189-196. <https://doi.org/10.5194/isprs-archives-XLVIII-4-W9-2024-189-2024>
  11. Gonzalez Rodriguez, L., McCallum, A., Kent, D., Rathnayaka, C., & Fairweather, H. (2023). A review of sedimentation rates in freshwater reservoirs: recent changes and causative factors. *Aquatic Sciences*, 85(2), 60. <https://doi.org/10.1007/s00027-023-00960-0>
  12. Gourgouletis, N., Bariamis, G., Anagnostou, M.N., & Baltas, E. (2022). Estimating reservoir storage variations by combining Sentinel-2 and 3 measurements in the Yliki Reservoir, Greece. *Remote Sensing*, 14(8), 1860. <https://doi.org/10.3390/rs14081860>
  13. Haregeweyn, N., Melesse, B., Tsunekawa, A., Tsubo, M., Meshesha, D., & Balana, B.B. (2012). Reservoir sedimentation and its mitigating strategies: a case study of Angereb reservoir (NW Ethiopia). *Journal of Soils and Sediments*, 12, 291-305. <https://doi.org/10.1007/s11368-011-0447-z>
  14. Imanshoar, F., Hassanzadeh, Y., & Aalami, M.T. (2009). An introduction to environmental impacts of sedimentation and erosion due to dam's construction. In *Workshop on Reservoir Sedimentation Control, Regional Centre on Urban Flood Management, Karaj, Iran*.
  15. Jain, S.K., Singh, P., & Seth, S.M. (2002). Assessment of sedimentation in Bhakra Reservoir in the western Himalayan region using remotely sensed data. *Hydrological Sciences Journal*, 47(2), 203-212. <https://doi.org/10.1080/02626660209492924>
  16. Kondolf, M., & Yi, J. (2022). Dam renovation to prolong reservoir life and mitigate dam impacts. *Water*, 14(9), 1464. <https://doi.org/10.3390/w14091464>
  17. Lemma, H., Nyssen, J., Poesen, J., Assaye, H., Adgo, E., & Frankl, A. (2024). Impact of reservoir construction on the sediment budget of a downstream-linked freshwater lake. *Hydrological Sciences Journal*, 1-11. <https://doi.org/10.1080/02626667.2024.2337052>
  18. Madadi, M.R. (2022). Reservoir sedimentation management: A state-of-the-art review. *Journal of Applied Research in Water and Wastewater*, 9(2), 194-202.
  19. McFEETERS, S.K. (1996). The use of the Normalized Difference Water Index (NDWI) in the delineation of open water features. *International Journal of Remote Sensing*, 17(7), 1425–1432. <https://doi.org/10.3390/rs5073544>
  20. Nyikadzino, B., & Gwate, O. (2021). Estimation of Reservoir Capacity and Sedimentation Rate Using Direct and Indirect Methods. *International Journal Earth Science Geophysics*, 7, 045. <https://doi.org/10.35840/2631-5033/1845>
  21. Ren, S., Zhang, B., Wang, W.J., Yuan, Y., & Guo, C. (2021). Sedimentation and its response to management strategies of the Three Gorges Reservoir, Yangtze River, China. *Catena*, 199, 105096. <https://doi.org/10.1016/j.catena.2020.105096>
  22. Schwatke, C., Dettmering, D., & Seitz, F. (2020). Volume variations of small inland water bodies from a combination of satellite altimetry and optical imagery. *Remote Sensing*, 12(10), 1606. <https://doi.org/10.3390/rs12101606>
  23. Sedláček, J., Bábek, O., Grygar, T.M., Lend'áková, Z., Pacina, J., Stojdl, J., & Elznicová, J. (2022). A closer look at sedimentation processes in two dam reservoirs. *Journal of Hydrology*, 605, 127397. <https://doi.org/10.3390/w14213481>
  24. Sekertekin, A., Abdikan, S., & Marangoz, A.M. (2018). The acquisition of impervious surface area from LANDSAT 8 satellite sensor data using urban indices: a comparative analysis. *Environmental Monitoring and Assessment*, 190, 1-13. <https://link.springer.com/article/10.1007%2Fs10661-018-6767-3>
  25. Strahler, A.N. (1952). Hypsometric (area-altitude) analysis of erosional topography. *Geological Society of America Bulletin*, 63(11), 1117-1142. [https://ui.adsabs.harvard.edu/link\\_gateway/1952GSAB...63.1117S/doi:10.1130/0016-7606\(1952\)63\[1117:HAAOET\]2.0.CO;2](https://ui.adsabs.harvard.edu/link_gateway/1952GSAB...63.1117S/doi:10.1130/0016-7606(1952)63[1117:HAAOET]2.0.CO;2)

26. Teixeira Pinto, C., Jing, X., & Leigh, L. (2020). Evaluation analysis of Landsat level-1 and level-2 data products using in situ measurements. *Remote Sensing*, 12(16), 2597. <https://doi.org/10.3390/rs12162597>
27. Tesfaye, A.T., Moges, M.A., Moges, M.M., Worqlul, A.W., Defersha, D.T., & Wassie, A.B. (2023). Reservoir sedimentation evaluation using remote sensing and GIS approaches for the reservoirs in the upper Blue Nile Basin. *Sustainable Water Resources Management*, 9(1), 23. <https://doi.org/10.1007/s40899-022-00792-0>
28. Vidya, A., Poompavai, V., & Hebbar, R. (2023). Geospatial techniques for assessment of loss in reservoir storage capacity a case study of tungabhadra reservoir. In *2023 IEEE India Geoscience and Remote Sensing Symposium (InGARSS)* (pp. 1-4). IEEE. <https://doi.org/10.2166/wpt.2023.188>
29. Wagh, S., & Manekar, V. (2021). Assessment of reservoir sedimentation using satellite remote sensing technique (SRS). *Journal of The Institution of Engineers (India): Series A*, 102(3), 851-860. <https://doi.org/10.1007/s40030-021-00539-8>
30. Xu, H. (2006). Modification of normalised difference water index (NDWI) to enhance open water features in remotely sensed imagery. *International Journal of Remote Sensing*, 27(14), 3025-3033. <https://doi.org/10.1080/01431160600589179>
31. Yao, F., Minear, J.T., Rajagopalan, B., Wang, C., Yang, K., & Livneh, B. (2023). Estimating reservoir emendation rates and storage capacity losses using high-resolution sentinel-2 satellite and water level data. *Geophysical Research Letters*, 50(16), e2023GL103524. <https://doi.org/10.1029/2023GL103524>
32. Yulianto, F., Kushardono, D., Budhiman, S., Nugroho, G., Chulafak, G.A., Dewi, E.K., & Pambudi, A.I. (2022). Evaluation of the threshold for an improved surface water extraction index using optical remote sensing data. *The Scientific World Journal*, 2022(1), 4894929. <https://doi.org/10.1155/2022/4894929>